

#### 4. DENEY GRUBU 3: BETONARME ÇERÇEVE DENEYİ

Soket temel, kolon ve kiriş elemanları prekast olarak üretilen betonarme çerçeve, geliştirilen kiriş-kolon bağlantı yöntemi kullanılarak İTÜ İnşaat Fakültesi Yapı ve Deprem Mühendisliği Laboratuvarında oluşturulmuş ve üzerinde deneyler gerçekleştirilmiştir. Tek açıklıklı ve iki katlı çerçevenin geometrik özellikleri Şekil 21'de verilmiştir. Çerçeve imalatında C30 sınıfı beton,

B420C kalite donatı çeliği ve S235 kalite yapısal çelik kullanılmıştır.

Deney çerçevesinde bulunan dört adet kiriş-kolon bağlantısının her birinde üstte 4, altta 2 adet olmak üzere toplam 6 adet STMM eleman ceketli olarak kullanılmıştır.

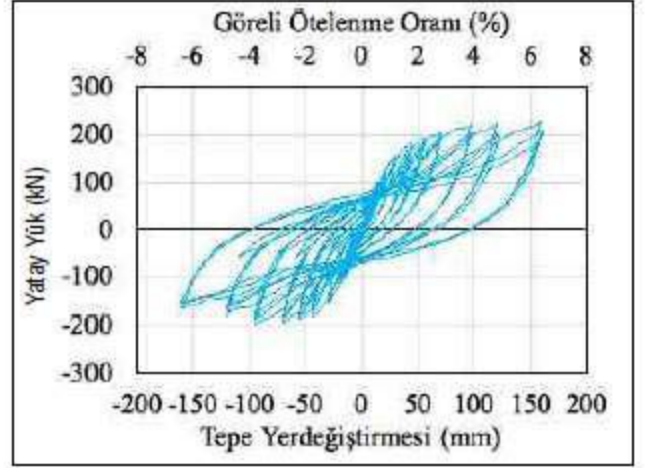
Deprem etkisini temsil eden yatay yükleme, temel üst kotundan çerçeve toplam yüksekliğinin 5/6'sı kadar yukarıda konumlandırılan hidrolik veren ile yapılmıştır. Yük dağıtma kirişi vasıtasıyla hidrolik veren kuvveti iki kata dağıtılmıştır. Çerçeve, ACI 374.1-05 de önerilen yerdeğiştirme çevrimleri kullanılarak denenmiştir. Yerdeğiştirme adımlarının artışı, birbirini takip eden iki yerdeğiştirme hedefi arasında en az 1.25 en çok 1.5 kat olacak şekilde oluşturulmuştur. Numune düzlem içi rijitliğindeki değişimi izlemek için, her yerdeğiştirme eşiğini takip eden bir adet küçük elastik çevrim uygulanmıştır. Bu özel çevrim, ilgili eşikte tatbik edilen üç yerdeğiştirme çevriminde gerçekleşen yük değerlerinin ortalamasının %30'unu hedefleyerek uygulanmıştır.

Çerçeve soket temelleri laboratuvar rijit döşemesine 8.8 kalitesinde M39 civatalar ile bağlanmıştır. Temellerin potansiyel kalkma, kayma ve dönme hareketlerini ölçmek üzere yeterli sayıda yerdeğiştirme ölçer kullanılmıştır. Temellerden alınan ölçümler, yeterli ankastre mesnetlenmenin sağlandığını göstermiştir. Deney çerçevesinin, yükleme düzlemine dik doğrultudaki hareketini önlemek üzere çelik çerçeve oluşturulmuştur. Düzleme dik doğrultuda her iki kat seviyesinde alınan ölçümler, düzlem dışı yerdeğiştirme hareketlerinin küçük kaldığını göstermiştir.





Şekil 22. Deney çerçevesi ve elde edilen yatay yük-yerdeğiştirme ilişkisi



İki katlı çerçeve sistemin genel görünümü ve deneyde elde edilen yatay yük-tepe yerdeğiştirme ilişkisi Şekil 22'de verilmiştir. Grafiğin yatay aksı üst kat kirişi hizasında ölçülen düzlem içi yatay yerdeğiştirmeleri, düşey aksı ise hidrolik verenden okunan yük değerlerini temsil etmektedir.

İtme doğrultusunda elde edilen en büyük dayanımın 220 kN, çekme doğrultusunda 200 kN olduğu görülmektedir. Deney çerçevesi yatay yükleme etki-

sinde simetrik bir davranış sergilemiştir. Çerçeve sistemin deney sonundaki genel durumu Şekil 23'te verilmiştir.

%0.25 görelî öteleme seviyesinde A kolonunun 1.kat düğüm noktası bölgesinde ilk çatlakın oluştuğu gözlenmiştir, Şekil 24. İlerleyen yatay ötelenme adımlarında bu bölgedeki çatlakların sayısı artmıştır.

İtme ve çekme yönlerinde gerçekleşen en büyük dayanımlar arasındaki 20 kN'luk fark, A1 düğüm noktası böl-

gesinde kolonda başlayan ve giderek ilerleyen hasar durumundan kaynaklanmaktadır, Şekil 24. A1 düğüm noktasında oluşan hasarın temel sebebi, kolonların yükleme düzleminde görece zayıf olmaları ve donatıların bağlandığı manşonların bulunduğu bölgede beton örtü kalınlığının büyük gerçekleşmiş olmasıdır.

B kolonu 1.kat düğüm noktasında (hidrolik veren tarafında) benzer düzeyde bir hasar durumu gözlenmemiştir,

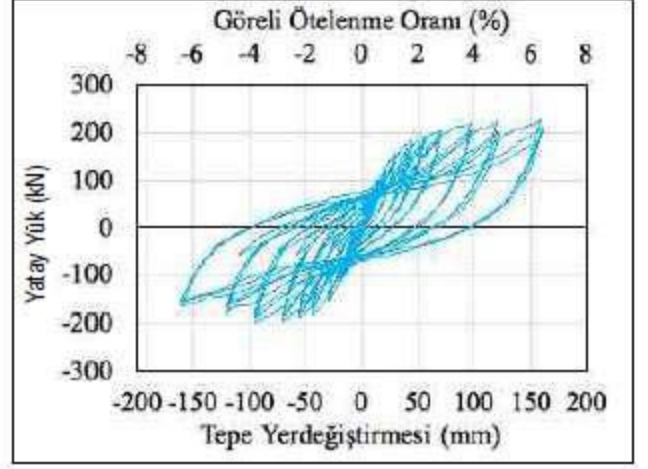


Şekil 23. Deney numunesi ve kolonlarının deney sonundaki durumu





Şekil 22. Deney çerçevesi ve elde edilen yatay yük-yerdeğiştirme ilişkisi



İki katlı çerçeve sistemin genel görünümü ve deneyde elde edilen yatay yük-tepe yerdeğiştirme ilişkisi Şekil 22'de verilmiştir. Grafiğin yatay aksı üst kat kirişi hizasında ölçülen düzlem içi yatay yerdeğiştirmeleri, dikey aksı ise hidrolik verenden okunan yük değerlerini temsil etmektedir.

İtme doğrultusunda elde edilen en büyük dayanımın 220 kN, çekme doğrultusunda 200 kN olduğu görülmektedir. Deney çerçevesi yatay yükleme etki-

sinde simetrik bir davranış sergilemiştir. Çerçeve sistemin deney sonundaki genel durumu Şekil 23'te verilmiştir.

%0.25 görelî öteleme seviyesinde A kolonunun 1.kat düğüm noktası bölgesinde ilk çatlakın oluştuğu gözlenmiştir, Şekil 24. İlerleyen yatay ötelenme adımlarında bu bölgedeki çatlakların sayısı artmıştır.

İtme ve çekme yönlerinde gerçekleşen en büyük dayanımlar arasındaki 20 kN'luk fark, A1 düğüm noktası böl-

gesinde kolonda başlayan ve giderek ilerleyen hasar durumundan kaynaklanmaktadır, Şekil 24. A1 düğüm noktasında oluşan hasarın temel sebebi, kolonların yükleme düzleminde görece zayıf olmaları ve donatıların bağlandığı manşonların bulunduğu bölgede beton örtü kalınlığının büyük gerçekleşmiş olmasıdır.

B kolonu 1.kat düğüm noktasında (hidrolik veren tarafında) benzer düzeyde bir hasar durumu gözlenmemiştir,

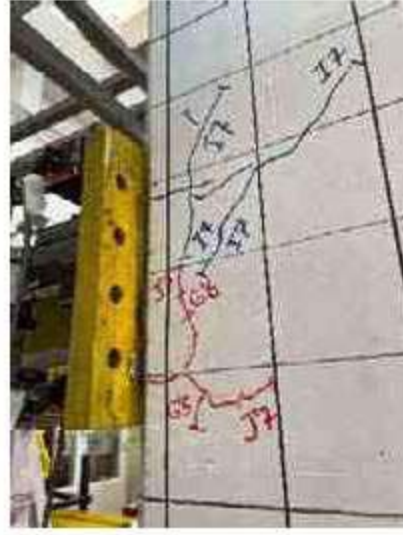


Şekil 23. Deney numunesi ve kolonlarının deney sonundaki durumu

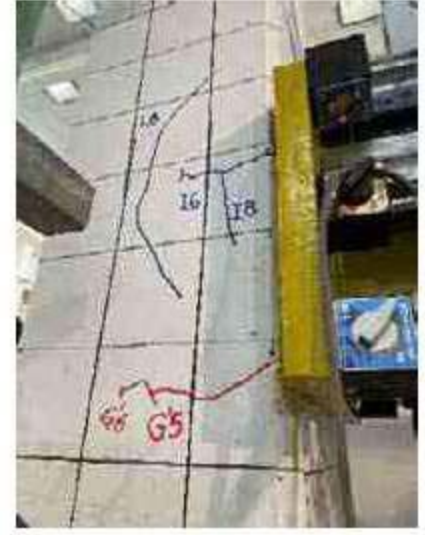




$P = 185.4 \text{ kN}$  ;  $\delta = 55 \text{ mm}$

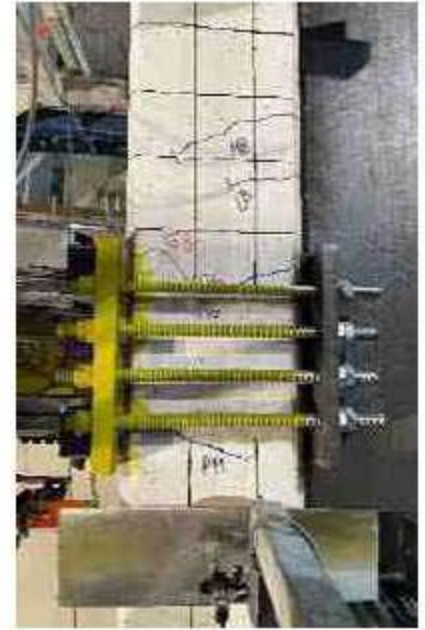


$P = 194 \text{ kN}$  ;  $\delta = 70 \text{ mm}$



$P = 204 \text{ kN}$  ;  $\delta = 95 \text{ mm}$

Şekil 24. A1 düğüm noktasının artan yerdeğiştirme aşamalarındaki hasar durumu



Şekil 25. B1 düğüm noktasının nihai hasar durumu

Şekil 25. Yatay yük dağıtıcı kiriş bağlantısı nedeniyle B1 düğüm noktasında oluşan sargı etkisinin bu durum üzerinde etkili olabileceği değerlendirilmiştir.

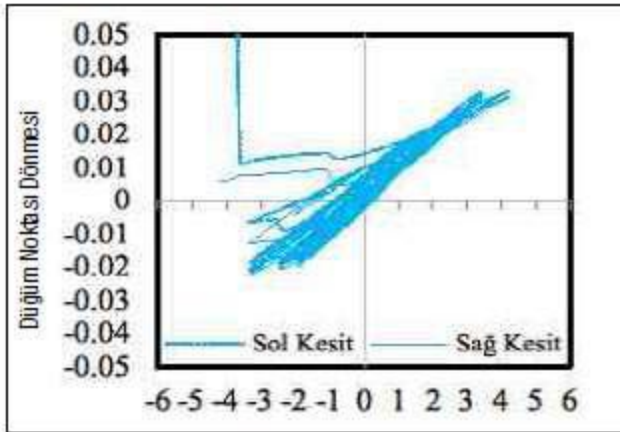
Deney numunesinin genel hasar durumu ve yük-yerdeğiştirme ilişkileri değerlendirildiğinde çerçeve davranışının oluştuğu ve yeterli süneklik ve enerji

tüketme özelliklerinin gerçekleştiği sonucuna varılmıştır. A kolonunda birinci kat (A1) ve ikinci kat (A2) seviyelerindeki düğüm noktalarına yerleştirilen yerdeğiştirme ölçerler ile takip edilen dönme büyüklükleri Şekil 26'da verilmiştir.

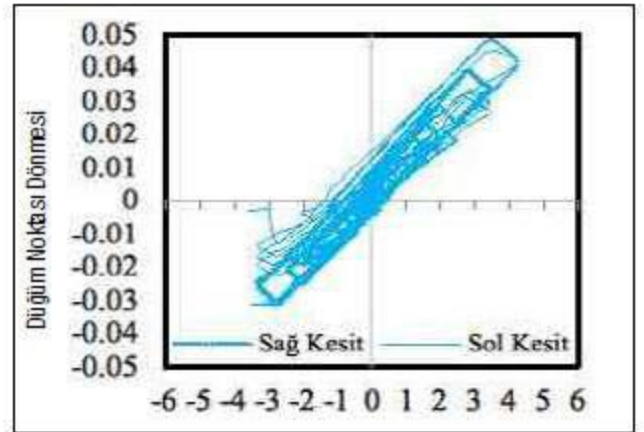
Çerçevenin her iki kolonunun alt uçla-

rında 0-150 mm ve 150-300 mm kot aralıklarında dönme okumalarına bağlı olarak hesaplanmıştır, Şekil 27. Her iki kolonda da 0-150 mm kot aralığında daha büyük dönme gerçekleşmiştir.

Deney sonunda kolon alt uçlarında oluşan hasar durumu Şekil 28'de verilmiştir. Kolon tabanlarında gözlenen

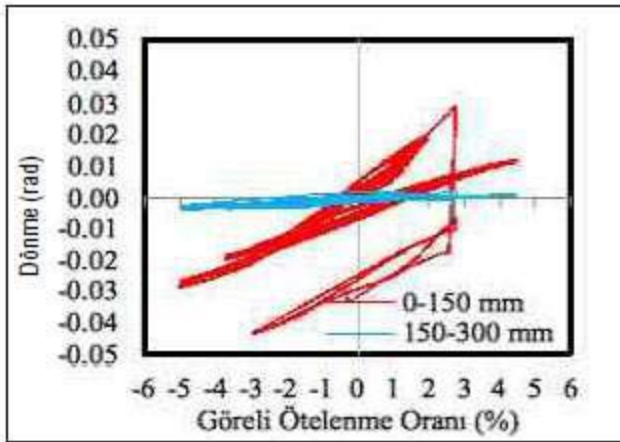


1.Kat Dügüm Noktası

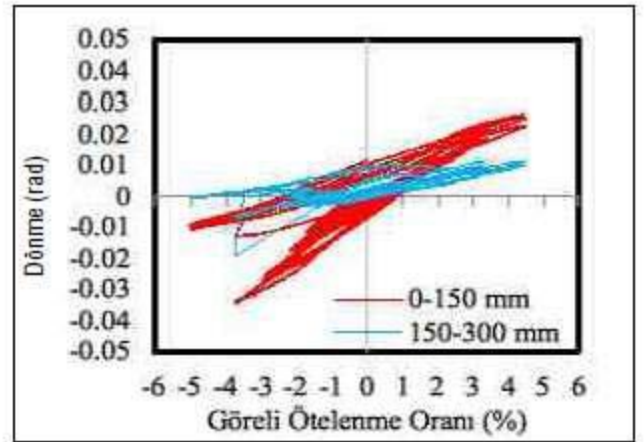


2.Kat Dügüm Noktası

Şekil 26. A kolonunda kiriş-kolon birleşim bölgelerinde ölçülen dönmeler



A Kolonu



B Kolonu

Şekil 27. Kolon alt uçlarında gerçekleşen eğilme şekildedğişirmesi



A Kolonu



B Kolonu

Şekil 28. Kolon alt uçlarında gözlenen hasarlar

hasarlar kaydedilen eğilme deformasyonları ile uyumludur.

Dügüm noktalarında (A1, A2, B1, B2) gözlenen hasar durumu Şekil 29'da verilmiştir. Hasarın, A1 düğüm noktasında yoğunlaştığı diğer düğüm noktalarında daha az hasar olduğu gözlenmiştir. Oluşan hasarın; düğüm noktası detaylarında yapılabilecek iyileştirmeler ve kiriş-kolon birleşiminde kullanılan STMM sayısı ve boyutlarında yapılacak düzenlemeler ile önemli ölçüde azaltılabileceği değerlendirilmiştir.

STMM elemanların ceketleri deney sonunda çıkarılarak sigorta elemanlarda



A Kolonu



B Kolonu

Şekil 29. Deney sonunda düğüm noktalarındaki hasar durumu



Şekil 30. Sigorta elemanların deney sonrası görünüşleri

ve ceket iç yüzeylerinde hasar gözlemi yapılmıştır, Şekil 30. Gözlemlerde eğilme deformasyonları ve sınırlı düzeyde burkulma tespit edilmiştir. Bu davranış biçimi, sigorta elemanların genel yapısal davranışa enerji tüketerek katkıda bulunduğunu göstermektedir.

## 5. SONUÇLAR

Önüretimli betonarme kiriş ve kolon elemanların moment aktaran bağlantısında kullanılacak yeni bir birleşim detayı önerilmiştir. Üç aşamada gerçekleştirilen deneylerde elde edilen sonuçlar aşağıda sıralanmıştır:

- i. Sigorta Tipi Mekanik Manşon (STMM) Deneyleri
1. STMM'ler enerji sönümlenme bakımından başarılı bir performans göstermiştir. Farklı uzunluktaki sigorta elemanlara sahip STMM'le-

rin ulařtıkları en büyük dayanımlar yakın gerekleřmiřtir.

2. Ceketli uygulamalarda her tipin benzer sneklik ve dayanım zellikleri sergilediđi grlmřtr.

### ii. Betonarme Kiriř Bađlantı Blgesi Deneyleri

3. İncelenen iki kiriř bađlantı blgesi %4.5 greli teleme seviyesine kadar kararlı evrimsel davranıř gstermiřtir.
4. Kiriř boyuna donatılarında akma gerilmesinin %30 altında kalınmıřtır.
5. Kiriř alın levhasında ayrılma (2.5-5.0 mm) gzlenmiřtir. Alın levhası ankraj detayının iyileřtirilmesi gerekmektedir.
6. Alın levhası ile boyuna donatıların birleřimini sađlayan manřonların bulunduđu blgede diyagonal atlaklar oluřmuřtur. Manřon boyutları ile yzeylerinin, daha iyi aderans sađlabilecek Őekilde revize edilmesi gerekmektedir.

### iii. Betonarme ereve deneyi

7. ereve davranıřı gerekleřmiř, dođrusal olmayan davranıř kiriř ulanında ve kolon tabanında yođunlařmıřtır.
8. ereve, %4.6 greli yerdeđiřtirme seviyesine kadar kararlı evrimsel davranıř gstermiřtir.
9. A1 dđm noktasında oluřan hasarın, kolonların ykleme dzleminde grece zayıf olmaları ve donatıların bađlandıđı manřonların bulunduđu blgede beton rt kalınlıđının byk gerekleřmesi nedeniyle olduđu sonucuna ulařılmıřtır.
10. Kuvvet-yerdeđiřtirme iliřkisinde itme ve ekme ynlerinde gerekleřen en byk dayanımlar

arasındaki %10 luk farkın, A1 dđm noktasında oluřan hasardan kaynaklandıđı sylenebilir.

11. A1 dđm noktası blgesinde kolonda oluřan hasarın engellenmesi iin, kolon alın levhalarının ve manřonların ankraj detaylarının iyileřtirilmesi gereklidir.

### KAYNAKLAR

1. zkaynak Hasan, Soydan Cihan, Srmeli Melih, Őenol Erkan, "nretimli betonarme yapıların moment tařıyan kiriř-kolon birleřimlerinde yeniliki yaklařımlar zerine literatr alıřması" Beton Prefabrikasyon Dergisi, Sayı: 136, Sayfa: 5-22, Ekim 2020.
2. Nakaki, S. D., Stanton, J. F., and Sritharan, S. "An overview of the PRESSS five-story precast test building", PCI Journal, 1999; 44:2, 26-39.
3. Ma, Y.; Qi, A.; Yan, G.; Zheng, L.; Xue, P. "Experiment study on the hysteretic performance of a novel replaceable beam-to-column joint with energy-dissipating steel hinge", Buildings, 2022, 12, 1180.
4. Mehrdad Ebrahimi, Elnaz Nobahar, Misagh Karimzade, Ehsan Noroozinejad Farsangi, "Resilient clevis-based connections equipped with hybrid Ni-Ti shape memory alloys and steel tendons: Experimental and FE investigations", Journal of Building Engineering, Vol. 62, December 2022, 105338, ISSN 2352-7102.
5. Yanxia Ye, Zhiyuan Hou, Pengshuang Qiao, Zongbin Wang, Qi Kang, "Experimental study on seismic behavior of a new fully precast rocking beam-column joint",

Journal of Building Engineering, Volume 62, 2022, 105337, ISSN 2352-7102.

6. Sen Yang, Yu Lin, Dongzhi Guan, Yuan Che, Wenguang Liu, Zhengxing Guo, "Experimental investigation of a locally-compressed beam-column connection with bar-typed fuses", Journal of Building Engineering, Volume 63, Part B, 2023, 105562, ISSN 2352-7102.
7. Őenol Erkan (2023) "nretimli betonarme yapılarda moment aktaran yeni bir kiriř-kolon bađlantısı", İstanbul Teknik niversitesi, Lisansst Eđitim Enstits, *teslim edilecek*.
8. Őenol Erkan, Yksel Ercan, zkaynak Hasan, Soydan Cihan, Srmeli Melih, Karakuř Kubilay, Saruhan Hakan, "Development of a novel fuse type mechanical connector", Structures, Vol. 44, 2022, 618-632, ISSN 2352-0124.
9. Soydan Cihan, zkaynak Hasan, Srmeli Melih, Őenol Erkan, Saruhan Hakan, Yksel Ercan, "A mechanical plastic hinge for beam-to-column connections of precast reinforced concrete systems", *Hakem incelemesinde*.
10. zkaynak Hasan, Soydan Cihan, Srmeli Melih, Őenol Erkan, Saruhan Hakan, Yksel Ercan, "Seismic behavior of precast RC frame equipped with replaceable mechanical plastic hinges", *Hakem incelemesinde*.
11. Patent Bařvurusu "nretimli Betonarme Kiriř Kolon Elemanların Bađlantısı Montaj Toleransı Veren Deđiřtirilebilir Mekanik Plastik Mafsallı Birleřimi", *İnceleme ařamasında*.